

## International Scientific Journal Theoretical & Applied Science

p-ISSN: 2308-4944 (print) e-ISSN: 2409-0085 (online)

Year: 2016 Issue: 2 Volume: 34

Published: 29.02.2016 <http://T-Science.org>

**Denis Alexandrovich Chemezov**  
 Master of Engineering and Technology,  
 Corresponding member of  
 International Academy of  
 Theoretical and Applied Sciences,  
 Lecturer of  
 Vladimir Industrial College,  
 Russian Federation  
[chemezov-da@yandex.ru](mailto:chemezov-da@yandex.ru)



### SECTION 7. Mechanics and machine construction.

## THE PARAMETERS OF THE GAS TURBINE BLADE WHEN CHANGING OF THE RATIO OF THE OUTPUT/INPUT RADIUS OF THE HUB

**Abstract:** The article is presented the calculation of parameters of the blade and defined the character of working changes of the gas turbine when the ratio of the output/input radius of the hub 0.2, 0.3 and 0.4.

**Key words:** a blade, a gas turbine, velocity, Mach number, pressure, an angle, a hub.

**Language:** Russian

**Citation:** Chemezov DA (2016) THE PARAMETERS OF THE GAS TURBINE BLADE WHEN CHANGING OF THE RATIO OF THE OUTPUT/INPUT RADIUS OF THE HUB. ISJ Theoretical & Applied Science, 02 (34): 75-85.

Soi: <http://s-o-i.org/1.1/TAS-02-34-13> Doi: [crossref http://dx.doi.org/10.15863/TAS.2016.02.34.13](http://dx.doi.org/10.15863/TAS.2016.02.34.13)

### ПАРАМЕТРЫ ЛОПАСТИ ГАЗОВОЙ ТУРБИНЫ ПРИ ИЗМЕНЕНИИ ОТНОШЕНИЯ ВЫХОДНОГО/ВХОДНОГО РАДИУСОВ СТУПИЦЫ

**Аннотация:** В статье представлен расчет параметров лопасти и определен характер изменения работы газовой турбины при отношении выходного/входного радиусов ступицы 0.2, 0.3 и 0.4.

**Ключевые слова:** лопасть, газовая турбина, скорость, число Маха, давление, угол, ступица.

Газовая турбина применяется для преобразования энергии сжатого и нагретого газа в механическую работу (вращение вала турбины) [1]. Крутящий момент на главном валу газовой турбины создается за счет вращающихся деталей и в частности рабочих лопастей (лопаток), на которые действует газовый поток.

Аэродинамический профиль лопасти газовой турбины имеет сложную конфигурацию. Лопасть газовой турбины состоит из следующих частей: хвоста для крепления детали в ободе диска, рабочей части, находящейся под действием движущегося потока газа, и вершины для закрепления ленточного бандажа (связывание нескольких лопастей) [2]. Рабочая часть лопасти состоит из ряда элементов: наружной и внутренней поверхностей, входной и выходной кромок, утолщения, отверстия под скрепление, наружной и внутренней галтелей. Также рабочая часть лопасти характеризуется наружным и внутренним профилями сечения [3].

Геометрическая форма и величины размеров рабочей лопасти влияют на производительность газовой турбины. Анализ характера работы

газовой турбины при изменении геометрических параметров лопасти можно выполнить на этапе проектирования посредством специальных компьютерных программ.

Проектировались 3 радиальные газовые турбины с различными профилями рабочих лопастей в модуле Vista RTD (предварительный расчет радиальных турбин) программного комплекса Vista TF (экспресс-анализ характеристик течения газа в турбомашине). В качестве переменного параметра принято отношение выходного/входного радиусов ступицы ( $R_{3hub}/R_2$ ) газовой турбины величинами 0.2, 0.3 и 0.4. Проектирование лопасти газовой турбины осуществлялось для одной ступени. Исходными данными являлись условия эксплуатации газовой турбины и геометрические размеры ее основных элементов.

Условия эксплуатации (аэродинамические характеристики) радиальной газовой турбины при различных  $R_{3hub}/R_2$  представлены в табл. 1.

Геометрические размеры сопла и рабочего колеса радиальной газовой турбины при различных  $R_{3hub}/R_2$  представлены в табл. 2.

## Impact Factor:

<b>ISRA (India)</b>	<b>= 1.344</b>	<b>SIS (USA)</b>	<b>= 0.912</b>	<b>ICV (Poland)</b>	<b>= 6.630</b>
<b>ISI (Dubai, UAE)</b>	<b>= 0.829</b>	<b>РИНЦ (Russia)</b>	<b>= 0.179</b>	<b>PIF (India)</b>	<b>= 1.940</b>
<b>GIF (Australia)</b>	<b>= 0.564</b>	<b>ESJI (KZ)</b>	<b>= 1.042</b>		
<b>JIF</b>	<b>= 1.500</b>	<b>SJIF (Morocco)</b>	<b>= 2.031</b>		

Таблица 1

### Аэродинамические характеристики.

Условия эксплуатации			
Отношение выходного/входного радиусов ступицы (R3hub/R2)	0.2	0.3	0.4
Температура торможения на входе, К (T01)	350		
Давление торможения на входе, кПа (P01)	152		
Удельный массовый расход, кг/с (Mass)	0.2		
Степень расширения газа /полная-полная/ (Exp tt)	2.917		
Частота вращения, мин <sup>-1</sup> (N)	42000		
Отношение скоростей (U/C t-t)	0.7		
КПД ступени			
Установка пользователя	0.8		
Свойства газа (жидкости)			
Удельная теплоемкость при постоянном давлении, Дж /(кг · К) (Cp)	1004		
Газовая постоянная, Дж /(кг · К) (R)	287		
Углы отклонения потока			
Входной угол			
Относительный, град.	-40.1		
Выходной угол			
Абсолютный, град.	0		

Таблица 2

### Геометрические размеры.

Отношение выходного/входного радиусов ступицы (R3hub/R2)	0.2	0.3	0.4
Сопло			
Средняя толщина лопасти в горловине, мм (Noz thk)	1		
Количество лопастей (Noz vanes)	10		
Проходное сечение горловины, мм <sup>2</sup> (Tht area)	780		
Рабочее колесо			
Средняя толщина лопасти на выходе, мм (Imp thk)	1.5		
Количество лопастей (Imp vanes)	14		
Отношение выходного/входного радиусов обода (R3shr/R2)	0.65		
Длина по оси, %	35		

Энергия потока газа полностью преобразовывалась в давление на входе, торможение газа адиабатное и изоэнтропическое (тепловая характеристика набегающего потока) [4].

Результаты расчета производительности, скоростей течения газа и геометрических размеров элементов газовой турбины при различных R3hub/R2 представлены в табл. 3.

Таблица 3

### Результаты расчета.

Отношение выходного/входного радиусов ступицы (R3hub/R2)	0.2	0.3	0.4
Производительность			
Оценка полного статического изоэнтропического КПД ступени, % (Eff)	80		
Отношение выходной предельной относительной скорости к входной относительной скорости (W3s/W2)	2.367	2.395	2.467
Отношение выходной предельной осевой скорости к входной относительной скорости (Vax3/U2)	0.181	0.21	0.269
Степень расширения /полная-статическая/ (Exp ts)	2.973	2.992	3.041
Функция течения/Функция течения с учетом величины дросселирования (Q/Qchk)	0.937	0.943	0.953
Mass · $\sqrt{T_{05} / P_{05}}$ , кг · К/кПа (MrtG/P(e-5))	$2.462 \cdot 10^{-5}$		

## Impact Factor:

<b>ISRA (India)</b> = <b>1.344</b>	<b>SIS (USA)</b> = <b>0.912</b>	<b>ICV (Poland)</b> = <b>6.630</b>
<b>ISI (Dubai, UAE)</b> = <b>0.829</b>	<b>РИНЦ (Russia)</b> = <b>0.179</b>	<b>PIF (India)</b> = <b>1.940</b>
<b>GIF (Australia)</b> = <b>0.564</b>	<b>ESJI (KZ)</b> = <b>1.042</b>	
<b>JIF</b> = <b>1.500</b>	<b>SJIF (Morocco)</b> = <b>2.031</b>	

Мощность, кВт (Pwr)		14.822		
Реакция (Rctn)		0.583	0.59	0.607
С – скорость струи на выходе; т. е. это скорость, которая может быть получена если газ был изоэнтропически расширен (энталпия торможения на входе и выходе), определяется как: $C = \sqrt{2 \cdot \Delta H_{isen}}$ (U/C ts)		0.695	0.693	0.689
Коэффициент нагрузки (dh/U2)		0.816		
Коэффициент быстроходности (Ns)		0.46	0.461	0.464
Температура, К (T3)		274.7	274.2	272.9
Температура, К (T03)		276.2		
Давление, кПа (P3)		51.13	50.81	49.98
Давление, кПа (P03)		52.11		
КПД ступени /полный-статический/, % (Stg ts)		78.8	78.4	77.4
КПД ступени /полный-полный/, % (Stg tt)		80.0		
КПД рабочего колеса /полный-статический/, % (Imp ts)		81.4	80.9	79.9
КПД рабочего колеса /полный-полный/, % (Imp tt)		82.6		
<i>Скорости на входе</i>				
Абсолютное число Maxa (Mabs)		0.712		
Относительное число Maxa (Mrel)		0.24		
Окружная скорость лопасти, м/с (U2)		301.31		
Абсолютная скорость, м/с (V2)		254.596		
Относительная скорость, м/с (W2)		85.919		
Абсолютная скорость закрутки потока, м/с (Vw2)		245.967		
Радиальная скорость, м/с (Vr)		65.721		
Абсолютный угол потока /радиальная ось/, град. (Alpha2)		75.04		
Относительный угол потока /радиальная ось/, град. (Beta2)		-40.1		
<i>Выходные скорости на ободе</i>				
Абсолютное число Maxa (Mabs)		0.165	0.19	0.245
Относительное число Maxa (Mrel)		0.612	0.62	0.64
Окружная скорость лопасти, м/с (U3)		195.851		
Абсолютная скорость, м/с (V3)		54.678	63.187	80.976
Относительная скорость, м/с (W3)		203.34	205.79	211.93
Абсолютная скорость закрутки потока, м/с (Vw3)		0		
Осевая скорость, м/с (Vax3)		54.678	63.187	80.976
Абсолютный угол потока /продольная ось/, град. (Alpha3)		0		
Относительный угол потока /продольная ось/, град. (Beta3)		-74.40	-72.12	-67.53
<i>Геометрические размеры рабочего колеса</i>				
Диаметр входа, мм (d2)		137.014		
Ширина концевой кромки, мм (Tip width)		6.191		
Входной диаметр ступицы, мм (d3hub)		27.403	41.104	54.806
Входной диаметр обода, мм (d3shr)		89.059		
Отношение входного диаметра к предельному выходному диаметру (d2/d3rms)		2.08	1.975	1.853
Предельный относительный угол потока, град. (Beta3rms)		-69.32	-67.49	-63.52
Относительный угол потока на ободе, град. (Beta3shr)		-74.40	-72.12	-67.53
Относительный угол потока на ступице, град. (Beta3hub)		-47.78	-55.04	-56.10
<i>Геометрия сопла</i>				
Функция течения/Функция течения с учетом величины дросселирования (Q/Qchk)		0.921		
Диаметр окружности, измеренный по задним кромкам лопасти, мм (Inner dia)		157.566		
Отношение A/R для безлопаточного сопла, мм (Vless A/R)		10.393		
Проходное сечение горловины, мм <sup>2</sup> (Tht area)		688		

Изоэнтропический КПД – коэффициент, характеризующий эффективность работы газовой турбины работающей в условиях отсутствия

теплообмена с окружающей средой. По значению коэффициента быстроходности определяют тип турбины. Число Маха является основным

## Impact Factor:

<b>ISRA (India)</b>	<b>= 1.344</b>	<b>SIS (USA)</b>	<b>= 0.912</b>	<b>ICV (Poland)</b>	<b>= 6.630</b>
<b>ISI (Dubai, UAE)</b>	<b>= 0.829</b>	<b>РИНЦ (Russia)</b>	<b>= 0.179</b>	<b>PIF (India)</b>	<b>= 1.940</b>
<b>GIF (Australia)</b>	<b>= 0.564</b>	<b>ESJI (KZ)</b>	<b>= 1.042</b>		
<b>JIF</b>	<b>= 1.500</b>	<b>SJIF (Morocco)</b>	<b>= 2.031</b>		

параметром движения газа (дозвуковым или сверхзвуковым) [5].

Изменение профиля лопасти при R3hub/R2 равном 0.4 приводит к увеличению более чем на 5% (относительно R3hub/R2 равного 0.2) значений следующих коэффициентов производительности газовой турбины: W3s/W2, Vax3/U2, Exp ts, Q/Qchk, Rctn, Ns. При этом уменьшаются величины коэффициента С, температуры и давления на выходе, КПД ступени (Stg ts) и рабочего колеса (Imp ts). Во всех случаях остаются неизменными параметры Eff, MrT/P(e-5), Pwr, dh/U2, T03, P03, Stg tt и Imp tt.

Движение газа в турбине дозвуковое. Расчетное Mabs на выходе уменьшается от 3 до 4 раз по сравнению с Mabs на входе. Наибольшая величина Mabs определена на входе. Mrel увеличивается примерно в 2.5 раза на выходе для всех R3hub/R2 радиальной газовой турбины. У изменяется в 1.5 раза с 301.3 м/с до 195.8 м/с. V2 потока газа на входе составляет 254.6 м/с. V3 на выходе достигает значений 54.6 м/с при R3hub/R2 = 0.2 и 80.9 м/с при R3hub/R2 = 0.4 (увеличение на 50%). Vw газа прямо пропорциональна углу поворота потока [6]. Расчетная величина Vw2 составляет 246 м/с, а на выходе равна нулю. В соответствии с конструкцией турбины на входе течение газа происходит в радиальном направлении с неизменной скоростью, а на выходе – в осевом направлении. Значения осевых скоростей совпадают со значениями абсолютных скоростей при соответствующих R3hub/R2 газовой турбины.

Alpha газа изменяется на 75.04 град. на расстоянии от входа до выхода. Beta газа отрицательный, на выходе при R3hub/R2 = 0.2 имеет наибольшее значение (-74.40).

При одинаковом d2 и d3shr рабочего колеса радиальной газовой турбины, d3hub изменяется в диапазоне от 27.4 до 54.8 мм. Наименьший диаметр ступицы соответствует R3hub/R2 = 0.2, наибольший – R3hub/R2 = 0.4. Разница d2/d3rms составляет 22.7% для R3hub/R2 = 0.2 и R3hub/R2 = 0.4. По отношению площадь/радиус сопла (A/R) [7] производят выбор основных размеров газовой турбины. Расчетная величина Throat area сопла газовой турбины составило 688 мм<sup>2</sup>, что на 92 мм<sup>2</sup> меньше, чем исходное значение.

Расчетные профили лопастей газовой турбины (цифры 2 и 3 идентифицируют входную и выходную зоны) и треугольники скоростей при различных R3hub/R2 представлены на рис. 1.

Треугольник скоростей рабочего колеса газовой турбины представляет собой треугольник, построенный из векторов относительной и абсолютной скоростей газа и окружной скорости лопасти. В таком треугольнике вектор абсолютной скорости

является геометрической суммой других векторов [8].

Контуры меридиональной скорости газа на лопасти газовой турбины при различных R3hub/R2 представлены на рис. 2.

Меридиональная скорость газа равна геометрической сумме радиальной и осевой составляющих скорости. Наибольшая меридиональная скорость газа наблюдается на середине лопасти газовой турбины при R3hub/R2 = 0.4.

Контуры скорости вращения закрученного потока газа на лопасти газовой турбины при различных R3hub/R2 представлены на рис. 3.

Максимальная величина скорости вращения закрученного потока газа отмечена на входе. На выходе эта скорость уменьшается до 20 – 40 м/с. Характер изменения скорости практически одинаков при различных R3hub/R2.

Контуры статического давления на лопасти газовой турбины при различных R3hub/R2 представлены на рис. 4.

Статическое давление не выражает условия равновесия газа. В соответствии с контурами снижение давления происходит в 2 раза (P2 и P3). Характер изменения статического давления практически одинаков при различных R3hub/R2.

Контуры статической температуры на лопасти газовой турбины при различных R3hub/R2 представлены на рис. 5.

Статическая температура представляет собой температуру газа в рассматриваемой точке. Разница температур на входе и на выходе – не менее 50 К. Характер изменения статической температуры практически одинаков при различных R3hub/R2.

Контуры коэффициента дросселирования [9] на лопасти газовой турбины при различных R3hub/R2 представлены на рис. 6.

Коэффициент дросселирования или коэффициент Джоуля-Томсона характеризует предел отношения изменения температуры газа к изменению его давления в изоэнталпийном процессе. Наибольшие потери скорости воздушного потока наблюдаются на выходе лопасти газовой турбины при R3hub/R2 = 0.4.

Контуры погрешности решения на профиле лопасти газовой турбины при различных R3hub/R2 представлены на рис. 7.

Определяют величину погрешности расчета меридиональной скорости газа на лопасти газовой турбины в процентном выражении. Минимальная погрешность решения ( $\pm 0.01\%$ ) найдена для R3hub/R2 = 0.3 и R3hub/R2 = 0.4.

Зависимости величины числа Маха на линии воздушного потока для различных зон лопасти газовой турбины от нормализованного M [10] представлены на рис. 8 – 10.

## Impact Factor:

<b>ISRA (India)</b>	<b>= 1.344</b>	<b>SIS (USA)</b>	<b>= 0.912</b>	<b>ICV (Poland)</b>	<b>= 6.630</b>
<b>ISI (Dubai, UAE)</b>	<b>= 0.829</b>	<b>РИНЦ (Russia)</b>	<b>= 0.179</b>	<b>PIF (India)</b>	<b>= 1.940</b>
<b>GIF (Australia)</b>	<b>= 0.564</b>	<b>ESJI (KZ)</b>	<b>= 1.042</b>		
<b>JIF</b>	<b>= 1.500</b>	<b>SJIF (Morocco)</b>	<b>= 2.031</b>		

Нормализованное  $M$  рассчитывается из соотношения  $M/M^+$ , где  $M$  – адаптивное управление крутящим моментом турбины;  $M^+$  - оптимальное управление крутящим моментом турбины. Максимальное значение числа Maxa отмечено на линии воздушного потока в зоне концевой кромки лопасти со стороны всасывания при  $R3hub/R2 = 0.4$ . Со стороны нагнетания на определенных интервалах нормализованного  $M$  наблюдаются отрицательные значения числа Maxa.

Зависимости величины нагрузочного параметра в межлопаточном канале [11] от нормализованного  $M$  представлены на рис. 11.

Наибольшая нагрузка действует у ступицы при  $R3hub/R2 = 0.2$ . В средней части и у концевой кромки межлопаточного канала этот параметр уменьшается примерно в 4 раза.

Зависимости величины углов бета лопасти газовой турбины и отклонения потока газа от нормализованного  $M$  представлены на рис. 12.

С увеличением значения нормализованного  $M$  увеличивается и угол бета лопасти. При этом наибольшая величина угла на концевой кромке лопасти получена для  $R3hub/R2 = 0.2$ , у ступицы – для  $R3hub/R2 = 0.4$ . Угол потока газа на концевой кромке и в средней части лопасти уменьшается при величинах нормализованного  $M$  0 – 0.25 и увеличивается на интервале 0.25 – 1. У ступицы угол потока газа уменьшается на интервале 0 – 0.32. Для  $R3hub/R2 = 0.2$  на концевой кромке лопасти газовой турбины угол потока имеет минимальное значение -21 град., максимальное -72 град.

Зависимости величины статического давления на лопасти газовой турбины в меридиональном сечении от нормализованного  $M$  представлены на рис. 13.

Характер снижения статического давления на лопасти газовой турбины представлен двумя фазами: первый – резкое уменьшение на интервале нормализованного  $M$  0 – 0.35 и второй – более медленное уменьшение на интервале 0.35 – 1.

Зависимости величины нагрузочных параметров [12] от нормализованного размаха лопасти газовой турбины представлены на рис. 14.

Число де Халлера равно отношению выходной/входной относительных скоростей. До 0.13 ( $R3hub/R2 = 0.4$ ) и 0.35 ( $R3hub/R2 = 0.2$ ) нормализованного размаха лопасти газовой турбины выходная относительная скорость меньше чем входная. Дальнейшее увеличение коэффициента нормализованного размаха лопасти газовой турбины приводит к увеличению выходной относительной скорости в 1.8 раза относительно входной. Лямбда – коэффициент работы. Определяется как отношение разности статических энталпий пара в начале и в конце процесса расширения к окружной скорости лопасти газовой турбины. Минимальная величина коэффициента рассчитана для всех  $R3hub/R2$  при нормализованном размахе лопасти газовой турбины равном 1, максимальная – для  $R3hub/R2 = 0.2$ . Коэффициент восстановления идеального статического давления рассчитывается как отношение статических давлений в двух рассматриваемых сечениях потока газа. Увеличение коэффициента (1 при  $R3hub/R2 = 0.2$ ) позволит снизить мощность, потребную для работы турбины. Величина параметра Цвайфеля позволяет определить рациональное количество лопастей, вес, стоимость и КПД газовой турбины. При величине числа Цвайфеля более 0.8 возрастают потери, связанные с уменьшением количества лопастей газовой турбины.

Зависимости величины углов падения и отклонения от нормализованного размаха лопасти газовой турбины представлены на рис. 15.

Угол падения протекающего газа зависит от поворота лопасти в одном из направлений. Для всех  $R3hub/R2$  этот угол изменяется на 3.2 град в диапазоне от -48.7 до -45.5 град. Угол отклонения – угол, под которым линия, касательная к нижнему краю лопасти, проходит относительно горизонтали. Расчетные значения угла могут быть положительными и отрицательными, в зависимости от величины нормализованного размаха лопасти газовой турбины. Наибольшие значения угла отклонения получены для  $R3hub/R2 = 0.2$ .

## Impact Factor:

ISRA (India) = 1.344	SIS (USA) = 0.912	ICV (Poland) = 6.630
ISI (Dubai, UAE) = 0.829	РИНЦ (Russia) = 0.179	PIF (India) = 1.940
GIF (Australia) = 0.564	ESJI (KZ) = 1.042	
JIF = 1.500	SJIF (Morocco) = 2.031	

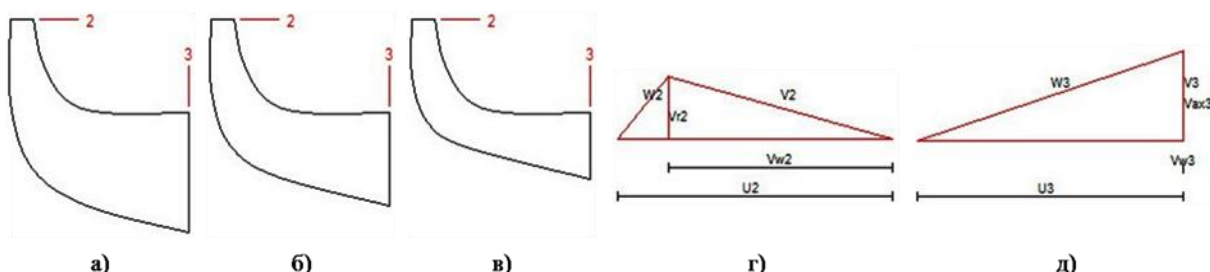


Рисунок 1 – Профили лопасти газовой турбины (а – отношение выходного/входного радиусов ступицы 0.2; б – отношение выходного/входного радиусов ступицы 0.3; в – отношение выходного/входного радиусов ступицы 0.4) и треугольники скоростей (г – на входе; д – на выходе).

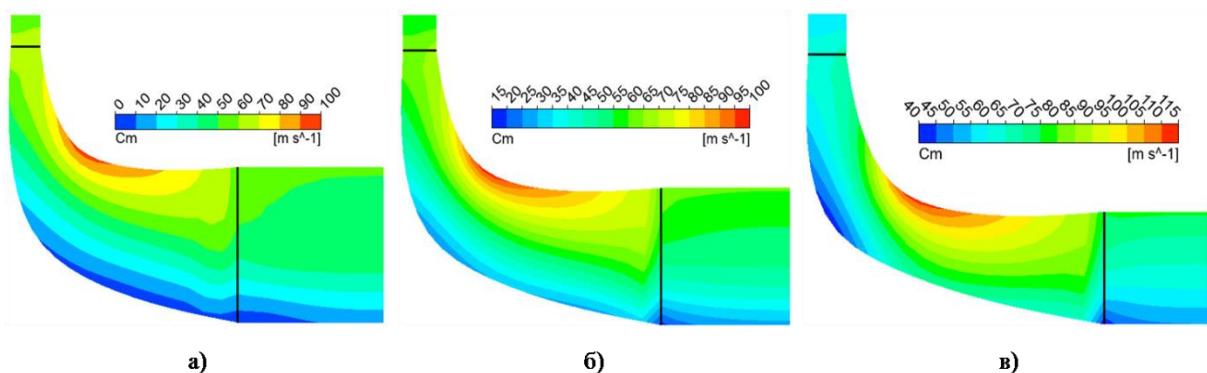


Рисунок 2 – Контуры меридиональной скорости. Отношение выходного/входного радиусов ступицы газовой турбины: а – 0.2; б – 0.3; в – 0.4.

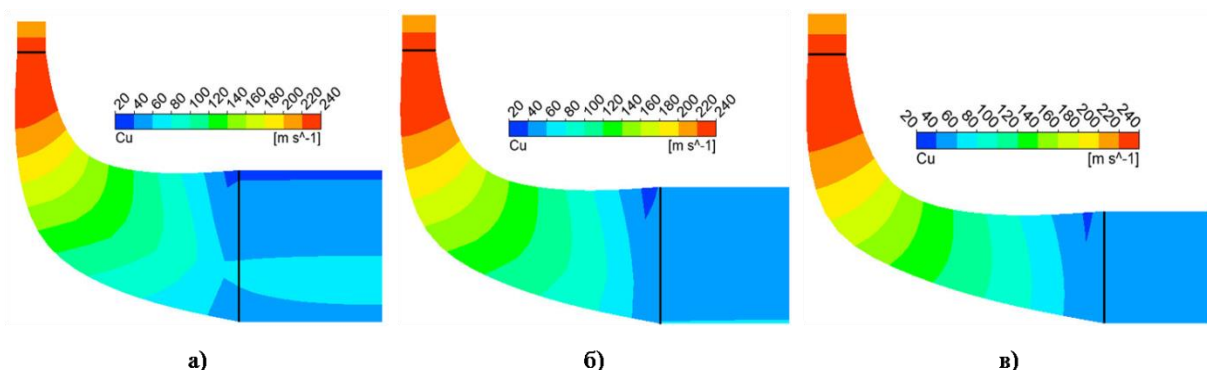


Рисунок 3 – Контуры скорости вращения закрученного потока газа. Отношение выходного/входного радиусов ступицы газовой турбины: а – 0.2; б – 0.3; в – 0.4.

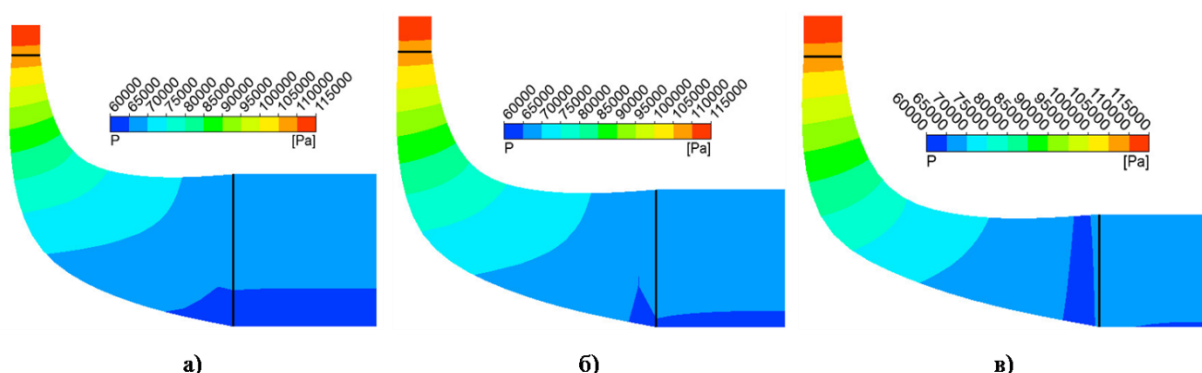


Рисунок 4 – Контуры статического давления. Отношение выходного/входного радиусов ступицы газовой турбины: а – 0.2; б – 0.3; в – 0.4.

## Impact Factor:

ISRA (India) = 1.344	SIS (USA) = 0.912	ICV (Poland) = 6.630
ISI (Dubai, UAE) = 0.829	РИНЦ (Russia) = 0.179	PIF (India) = 1.940
GIF (Australia) = 0.564	ESJI (KZ) = 1.042	
JIF = 1.500	SJIF (Morocco) = 2.031	

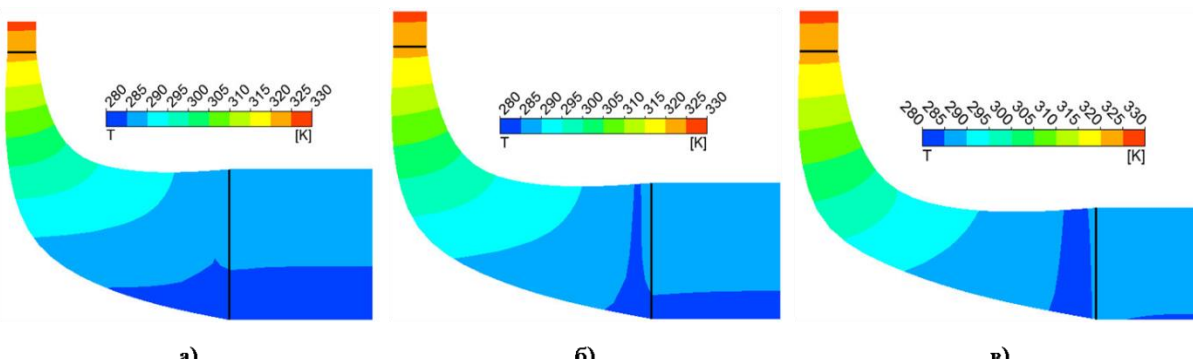


Рисунок 5 – Контуры статической температуры. Отношение выходного/входного радиусов ступицы газовой турбины: а – 0.2; б – 0.3; в – 0.4.

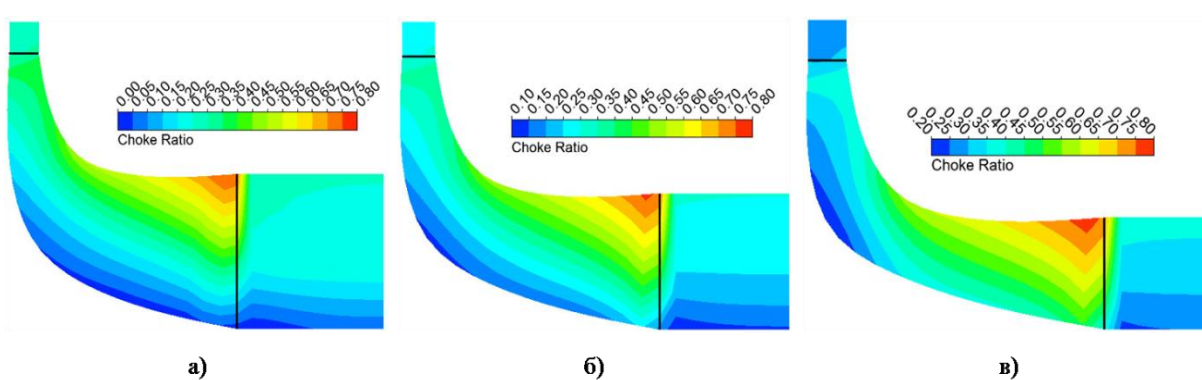


Рисунок 6 – Контуры коэффициента дросселирования. Отношение выходного/входного радиусов ступицы газовой турбины: а – 0.2; б – 0.3; в – 0.4.

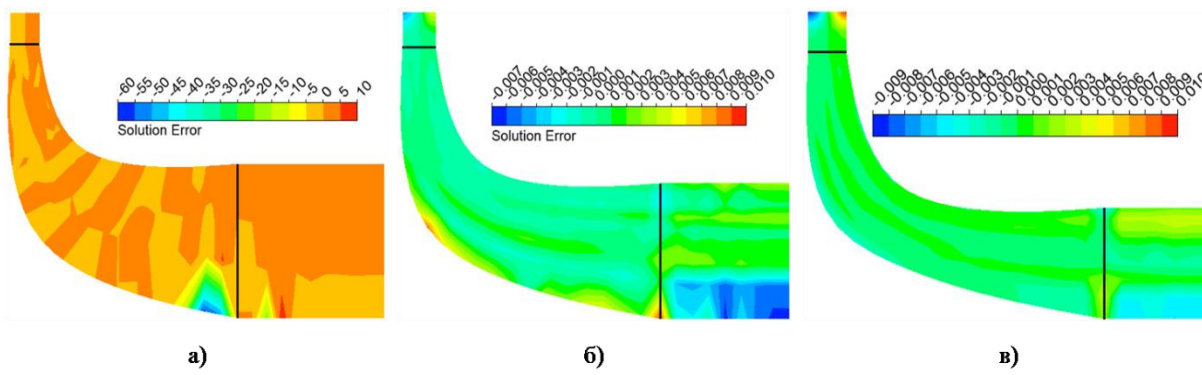


Рисунок 7 – Контуры погрешности решения. Отношение выходного/входного радиусов ступицы газовой турбины: а – 0.2; б – 0.3; в – 0.4. Значения коэффициента погрешности выражаются в процентах.

## Impact Factor:

<b>ISRA (India)</b>	= <b>1.344</b>	<b>SIS (USA)</b>	= <b>0.912</b>	<b>ICV (Poland)</b>	= <b>6.630</b>
<b>ISI (Dubai, UAE)</b>	= <b>0.829</b>	<b>РИНЦ (Russia)</b>	= <b>0.179</b>	<b>PIF (India)</b>	= <b>1.940</b>
<b>GIF (Australia)</b>	= <b>0.564</b>	<b>ESJI (KZ)</b>	= <b>1.042</b>		
<b>JIF</b>	= <b>1.500</b>	<b>SJIF (Morocco)</b>	= <b>2.031</b>		

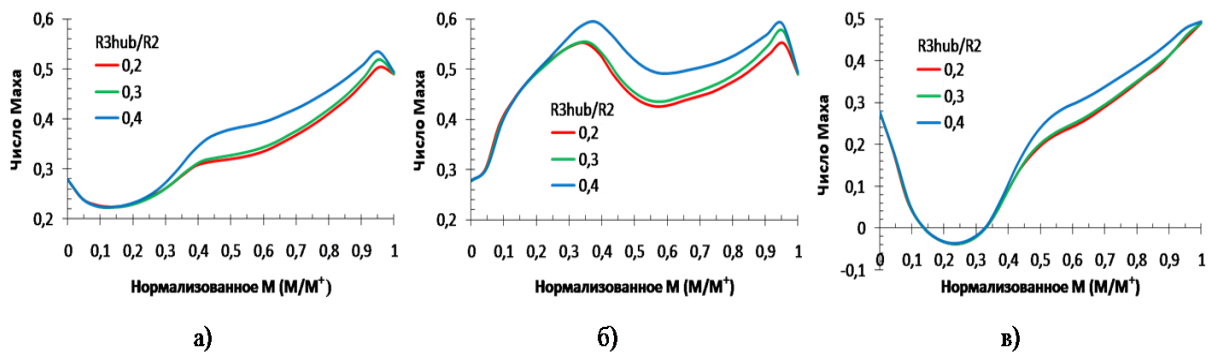


Рисунок 8 – Величина числа Маха на линии воздушного потока (концевая кромка) от нормализованного  $M$ : а – средняя линия; б – сторона всасывания; в – сторона нагнетания.

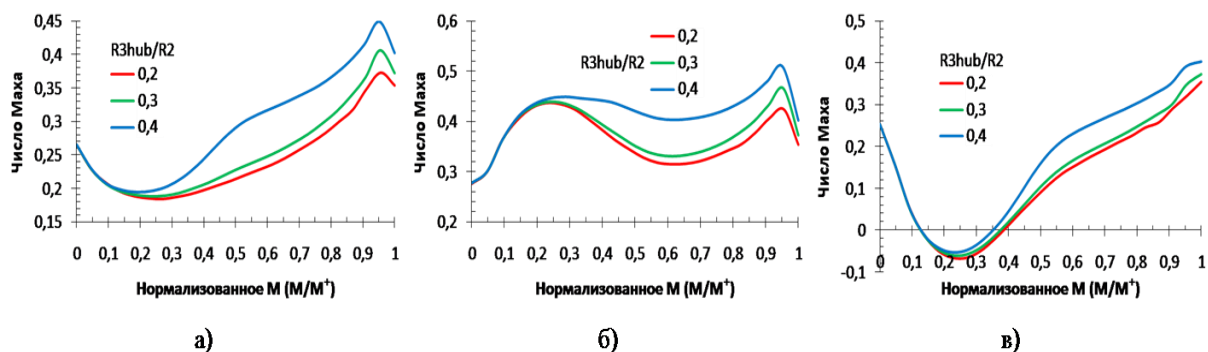


Рисунок 9 – Величина числа Маха на линии воздушного потока (средняя часть) от нормализованного  $M$ : а – средняя линия; б – сторона всасывания; в – сторона нагнетания.

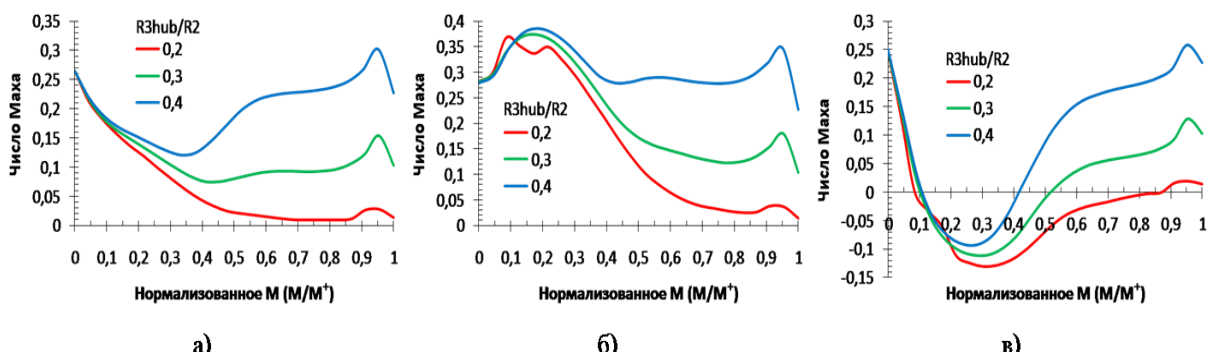


Рисунок 10 – Величина числа Маха на линии воздушного потока (ступица) от нормализованного  $M$ : а – средняя линия; б – сторона всасывания; в – сторона нагнетания.

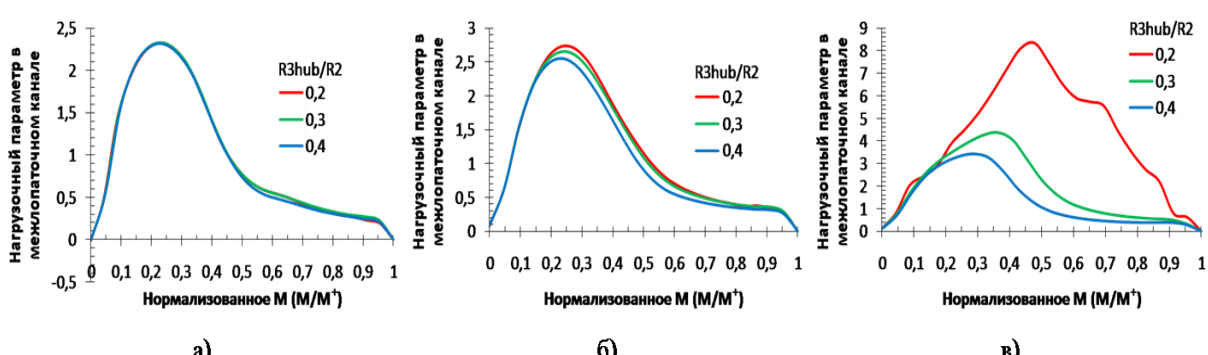


Рисунок 11 – Величина нагрузочного параметра в межлопаточном канале (меридиональное сечение) от нормализованного  $M$ : а – концевая кромка; б – средняя часть; в – у ступицы.

## Impact Factor:

ISRA (India) = 1.344	SIS (USA) = 0.912	ICV (Poland) = 6.630
ISI (Dubai, UAE) = 0.829	РИНЦ (Russia) = 0.179	PIF (India) = 1.940
GIF (Australia) = 0.564	ESJI (KZ) = 1.042	
JIF = 1.500	SJIF (Morocco) = 2.031	

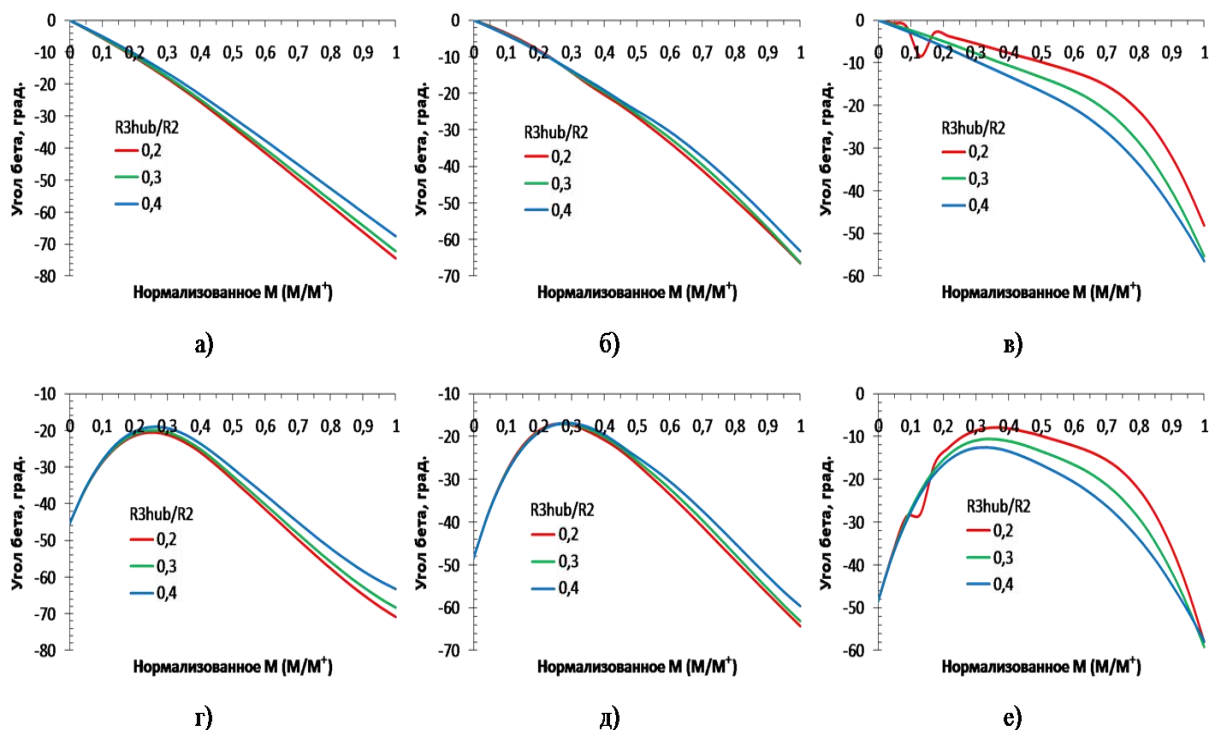


Рисунок 12 – Величина углов бета лопасти газовой турбины и отклонения потока газа от нормализованного  $M$ : а – концевая кромка лопасти; б – средняя часть лопасти; в – лопасть у ступицы; г – угол потока на концевой кромке лопасти; д – угол потока в средней части лопасти; е – угол потока у ступицы.

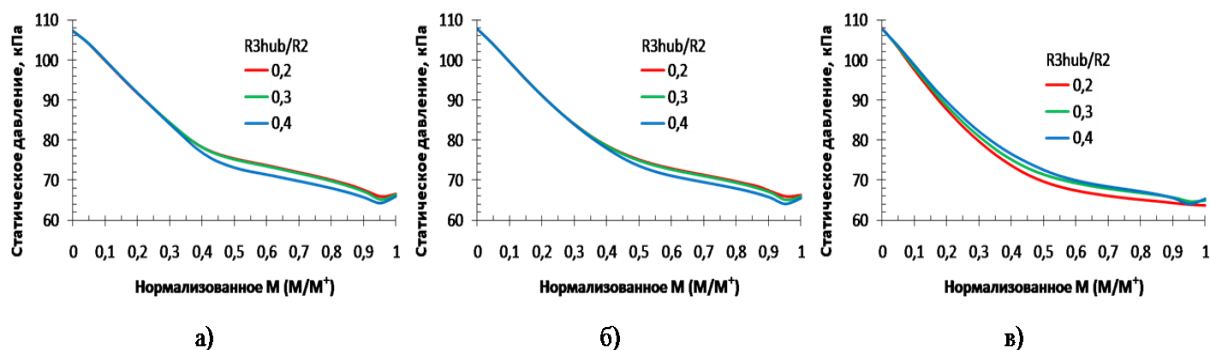


Рисунок 13 – Величина статического давления в меридиональном сечении от нормализованного  $M$ : а – концевая кромка лопасти; б – средняя часть лопасти; в – лопасть у ступицы.

## Impact Factor:

<b>ISRA (India)</b>	<b>= 1.344</b>	<b>SIS (USA)</b>	<b>= 0.912</b>	<b>ICV (Poland)</b>	<b>= 6.630</b>
<b>ISI (Dubai, UAE)</b>	<b>= 0.829</b>	<b>РИНЦ (Russia)</b>	<b>= 0.179</b>	<b>PIF (India)</b>	<b>= 1.940</b>
<b>GIF (Australia)</b>	<b>= 0.564</b>	<b>ESJI (KZ)</b>	<b>= 1.042</b>		
<b>JIF</b>	<b>= 1.500</b>	<b>SJIF (Morocco)</b>	<b>= 2.031</b>		

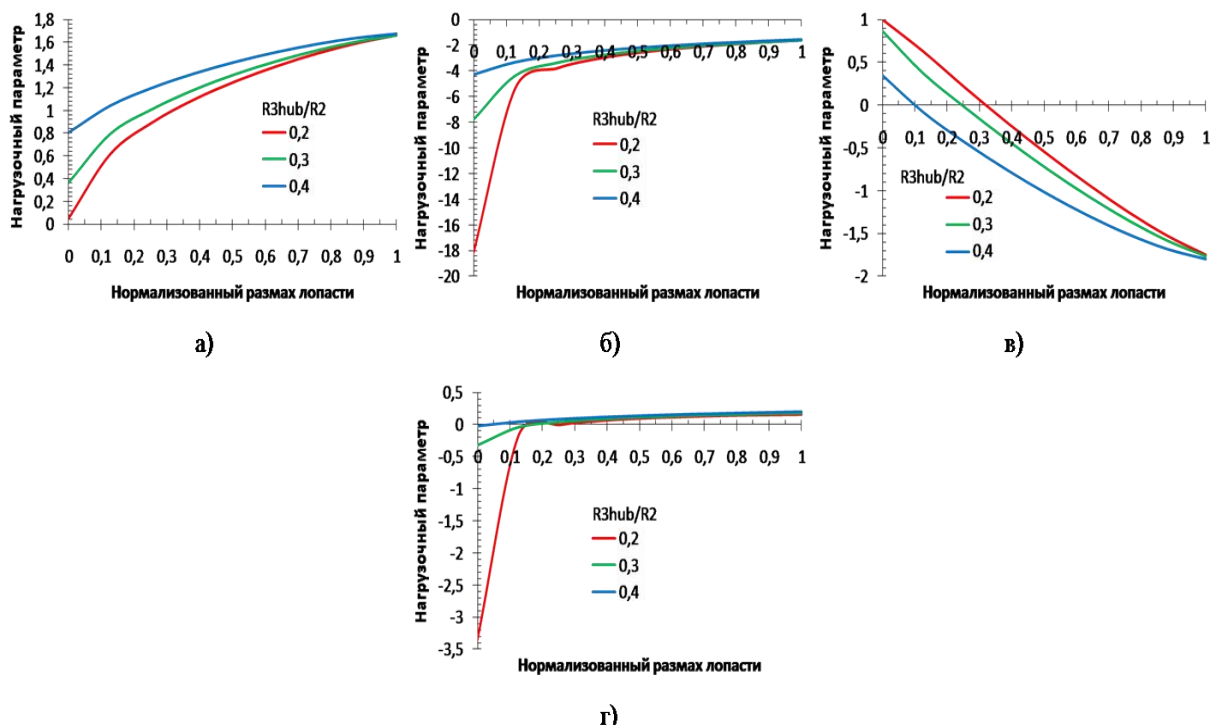


Рисунок 14 – Величина нагрузочных параметров от нормализованного размаха лопасти газовой турбины: а – число де Халлера; б – лямбда; в – коэффициент восстановления идеального статического давления; г – параметр Цвайфеля.

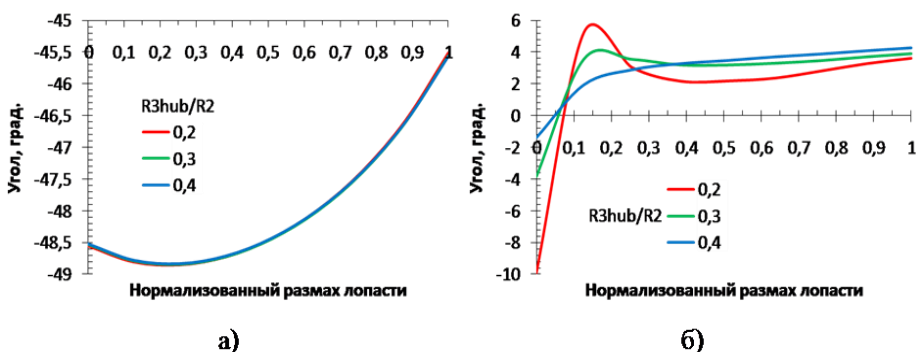


Рисунок 15 – Величина углов падения (а) и отклонения (б) в меридиональном сечении от нормализованного размаха лопасти газовой турбины.

На основании проведенного анализа результатов компьютерного расчета параметров лопасти можно сделать следующие выводы о возможной эксплуатации радиальной газовой турбины при различных отношениях выходного/входного радиусов ступицы:

1. Для получения высокого КПД газовой турбины рекомендуется применять лопасти с параметрами, рассчитанными для  $R3hub/R2 = 0.2$ . Уменьшение температуры и давления газа при

$R3hub/R2 = 0.4$  приводит к снижению КПД газовой турбины.

2. С учетом высоких скоростей течения газа, действующих на рабочие лопасти газовой турбины при  $R3hub/R2 = 0.4$ , потери напора более значительны, чем у лопастей с другими аэродинамическими характеристиками.

3. Возможно уменьшение заданного количества лопастей газовой турбины при  $R3hub/R2 = 0.2$ , т. к. величина расчетного числа Цвайфеля в данном случае больше оптимального.

**References:**

1. (2016) Gazovaya turbina. Available: <http://enciklopediya-tehniki.ru/promyshlennost-na-g/gazovaya-turbina.html> (Accessed: 23.02.2016).
2. (2016) Rabochie i napravlyayushchie lopatki turbiny. Available: <http://vdvizhke.ru/sudovye-parovye-turbiny/detali-sudovoyh-parovyh-turbin/rabochie-i-napravljajuwie-lopatki-turbiny.html> (Accessed: 23.02.2016).
3. (2016) Konstruktsii lopatok turbin, tehnicheskie trebovaniya k konstruktsiyam, ih klassifikatsiya. Available: <http://chiefengineer.ru/tehnologii-metaloobrabotki/tehnologii-robototki-metalla/konstrukcii-lopatok-turbin/> (Accessed: 23.02.2016).
4. (2016) Temperatura tormozheniya. Available: <http://www.heuristic.su/effects/catalog/est/byld/description/701/index.html> (Accessed: 23.02.2016).
5. (2016) Chislo Maha. Available: <http://nature.web.ru/db/msg.html?mid=1173609> (Accessed: 23.02.2016).
6. (2016) Zakrutka potoka. Available: <http://neftandgaz.ru/?p=4149> (Accessed: 23.02.2016).
7. (2016) Vybor razmera turbiny i chto takoe A/R turbiny. Available: <https://www.drive2.ru/b/1448570/> (Accessed: 23.02.2016).
8. (2016) Treugolniki (plany) skorostey. Available: <http://helgior.livejournal.com/24729.html> (Accessed: 23.02.2016).
9. (2016) Drosselirovaniye gazov, parov i zhidkostey. Available: [http://ispu.ru/files/u2/book2/TD2\\_19-06/5.html](http://ispu.ru/files/u2/book2/TD2_19-06/5.html) (Accessed: 23.02.2016).
10. Johnson KE (2004) Adaptive Torque Control of Variable Speed Wind Turbines. National Renewable Energy Laboratory, Colorado. – 94 p.
11. (2016) Teoreticheskaya harakteristika rabochego kolesa i ego osnovnye parametry. Available: <http://msd.com.ua/vakuumnye-porshnevye-nasosy/teoreticheskaya-xarakteristika-rabochego-kolesa-i-ee-osnovnye-parametry/> (Accessed: 23.02.2016).
12. TurboSystem. Release 12.0. 2009 SAS IP, Inc. – 152 p.